

6. 高速艇の波浪中運動性能の研究（第3報）

STUDY OF MOTIONS OF HIGH SPEED BOATS IN A SEAWAY (3rd Report)

高速艇研究委員会*
Research Committee on High Speed Boat

The experimental data from a systematic study of high speed boat models by G. Fritsma were discussed along with the results calculated by strip method.

And taking account of conclusion from our 1st report we are sure that the motions of high speed boat calculated by strip method give good agreement with experimental data for $F_n < 0.5$, but not always for higher Froude number.

まえがき

第1報、第2報において高速艇の規則波中運動性能を解明していくために、正面規則波中水槽試験および強制動搖試験を実施し、それらから得られた結果とストリップ法により求めた値とを比較したが、実験および計算の対象とした船型はほぼ一貫して同一船型の魚雷艇模型であった^{1,2)}。このため船型が変化した場合、波浪中の船体運動はどのように変るのか、またストリップ法に対する結論はどの程度一般性があるかについては明瞭ではなかった。

さて、高速艇船型の波浪中水槽試験の実験例は比較的小いが、G. Fritsma は単純船型について系統的に L/B,

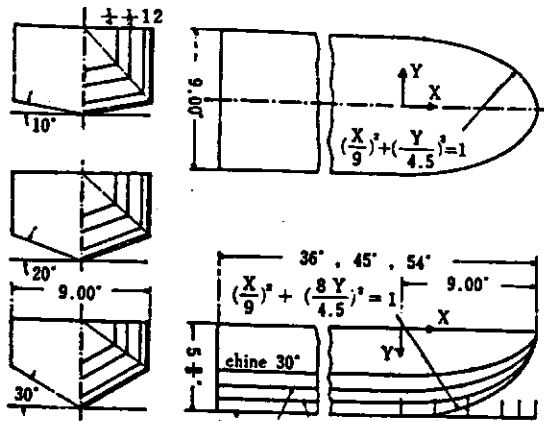


Fig. 1 Lines of model

deadrise angle 等を変化させ正面規則波中のデータをまとめている³⁾。その結果は船型の変化による波浪中船体応答の影響に対して一つの示唆を与えている。

そこで、本報告ではこの結果を再整理するとともにストリップ法を用いて船体運動を計算し実験値との比較を

Table I Nomenclature

<i>A</i>	midship section area
<i>b</i>	half beam of planing surface
<i>C_a</i>	load coefficient ... ($A/\rho \cdot b^3$)
<i>d</i>	draft
<i>LCG</i>	longitudinal center of gravity (%L)
<i>k</i>	pitch gyroradius.... (%L)
<i>k</i>	wave number.... ($2\pi/\lambda$)
<i>F_n</i>	Froude number.... ($V/\sqrt{L \cdot g}$)
<i>g</i>	acceleration of gravity
ζ_a	wave height
<i>Z_a</i>	double amplitude of heave motion
θ_a	double amplitude of pitch motion
<i>L</i>	model hull length
<i>L_w</i>	water-line of model hull length
λ	wave length
<i>A_{cc, bow}</i>	acceleration at bow
<i>A_{cc, cg}</i>	acceleration at center of gravity
β	deadrise angle
τ	trim angle
τ_0	static smooth-water trim angle
ρ	mass density of fresh water
<i>d</i>	displacement of model

* 別所正利 BESSHIO Masatoshi
防衛大学校 Defense Academy
* 小松正彦 KOMATSU Masahiko
防衛庁第1研究所 Meguro Towing Tank, Defense Agency

行い、船型の船体運動に及ぼす影響およびストリップ法の高速艇への適用性について検討を行った。

1. 実験および計算の概要

模型船は Fig. 1 に示すように deadrise angle β がそれぞれ $10^\circ, 20^\circ, 30^\circ$ の柱状模型であり、このうち $\beta=20^\circ$ の模型についてはさらに L/B を $4.0, 5.0, 6.0$ の 3 種に変化させてある。

実験状態はフルード数を各模型について $0.596, 1.191, 1.787$ の 3 種とし、また、 $\beta=20^\circ$ のものについては排水量を 3 通り、トリムを 3 とおり変化させている。実験状態の詳細は Table 2 に示すとおりである。

計算は基本的には O. S. M. (Ordinary Strip Method) であるが、流体力に関する項には平板の流体力を用いた^{11, 12)}。また、計算上の動揺中心位置は静止時の喫水位置とした。なお記号の意味は Table 1 に示した。

2. 実験値および計算値について

Fig. 2 は deadrise angle および速度の船体運動に与える影響を示したものである。フルード数が 0.596 では縦揺れ、上下揺れともに計算値は実験値とかなり良く一致している。フルード数が 1.191になると、縦揺れ、上下揺れともに計算値は波長船長比の小さい部分で実験値よりもかなり小さく、また波長船長比が $2 \sim 3$ の範囲で計算値は実験値よりも高くなりピークをなしている。フルード数が 1.787 の計算値についても deadrise angle が 10° のものを除くと、フルード数が 1.191 の傾向とほぼ同様

である。ただし、計算値のピークの位置は波長船長比の大きい方へ移動している。計算値の速度に対する以上の結果は第 1 報の結果の傾向とも一致している。

deadrise angle の運動に及ぼす影響はフルード数が 0.596 および 1.191 はそれ程顕著ではない。フルード数が 1.787 でも deadrise angle が 20° と 30° のものについてはさ程の差はないが、deadrise angle が 10° の場合、縦揺れの実験値の全波長船長比を通じて極端に大きくなっている。Fridsma³⁾ は deadrise angle 10° の運動の激しい状態に fly over という表現を用いている。

また加速度についてもフルード数が 0.596 の場合、運動と同様に計算値は実験値と良く一致している。しかしフルード数が 1.191 および 1.787 でしかも波長船長比が小さい範囲では加速度は実験値は計算値よりも極端に大きな値を示している。

加速度に対する deadrise angle の影響は速度が高いほど大きくなっている。フルード数が 1.191 では波長船長比の小さい領域で小さな deadrise angle ほど加速度は大きくなっている。さらに、速度が高くなり、フルード数が 1.787 になると、波長船長比全体にわたってこの傾向はさらに強まる。

以上のようにフルード数が高くしかも波長船長比の小さい場合、また deadrise angle の小さい模型の場合、加速度が大きな値となるのは船体が非線型な流体力を受けているためと思われる²⁾。

次に Fig. 3 に運動の L/B による影響を示した。 L/B による影響についてはフルード数が 1.191 の場合のみで

Table 2 Configurations

SYMBOL	$L/2b$	β (deg)	C_d	LCG (%L)	τ (deg)	ξ (%L)	τ_0 (deg)	F_n
A	5	20	0.608	59.0	4	25.1	0.86	1.191
B	5	20	0.608	62.0	4	25.5	1.50	1.787
C	5	20	0.608	61.5	4	25.3	1.40	0.596
D	5	20	0.608	67.5	6	26.5	2.70	0.596
E	5	20	0.608	65.5	6	26.2	2.30	1.191
F	5	20	0.912	58.0	6	20.4	1.00	1.191
G	5	20	0.912	58.0	5	20.4	1.00	1.787
H	5	10	0.608	62.0	4	25.6	1.36	0.596
I	5	10	0.608	59.5	4	25.0	0.84	1.191
J	5	10	0.608	68.0	4	26.2	2.90	1.787
K	5	30	0.608	61.0	4	24.7	1.40	1.191
L	5	30	0.608	62.5	4	24.9	1.64	0.596
M	5	30	0.608	60.5	4	24.8	1.20	1.787
N	6	20	0.608	64.5	4	24.8	1.56	1.191
O	6	20	0.912	60.0	4	20.0	1.10	1.191
P	4	20	0.631	52.5	4	23.7	-1.40	1.191

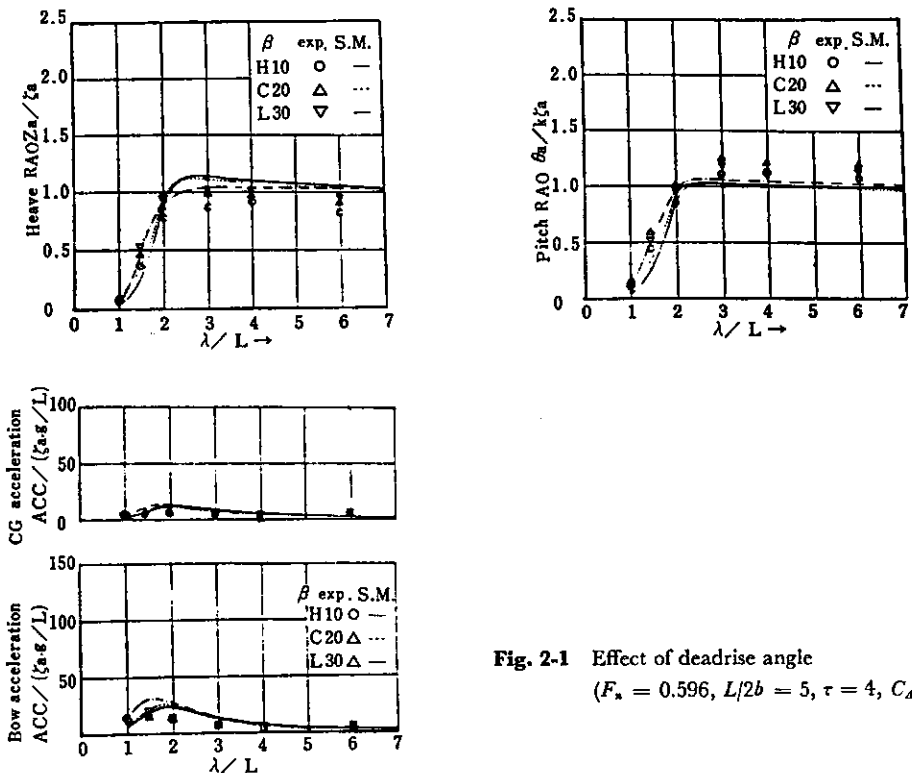


Fig. 2-1 Effect of deadrise angle
($F_s = 0.596$, $L/2b = 5$, $\tau = 4$, $C_d = 0.608$)

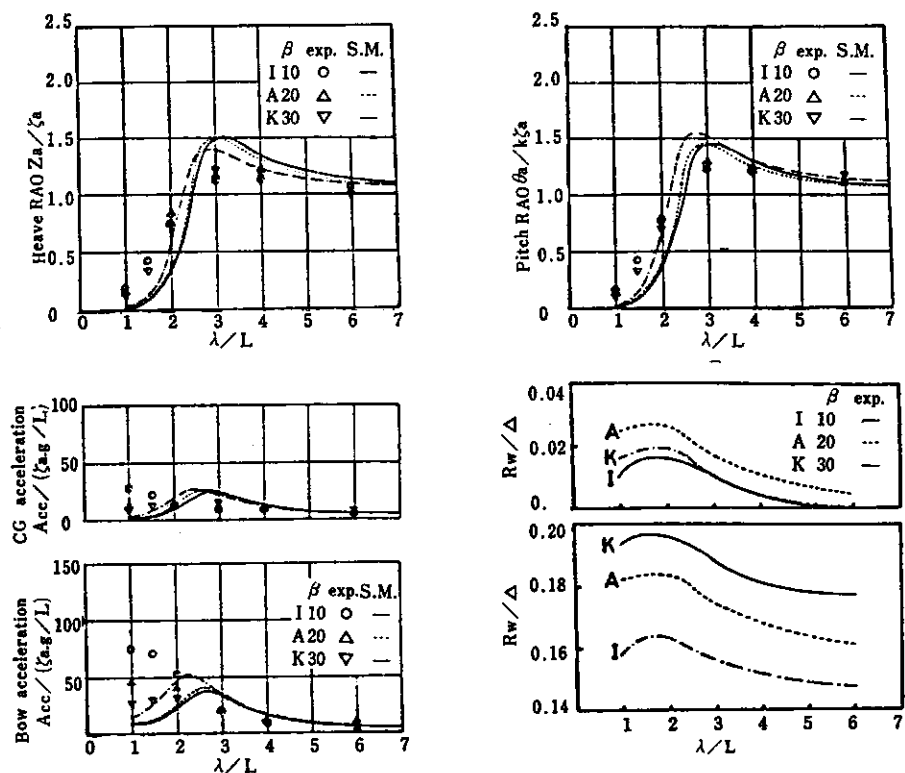


Fig. 2-2 Effect of deadrise angle
($F_s = 1.191$, $L/2b = 5$, $\tau = 4$, $C_d = 0.608$)

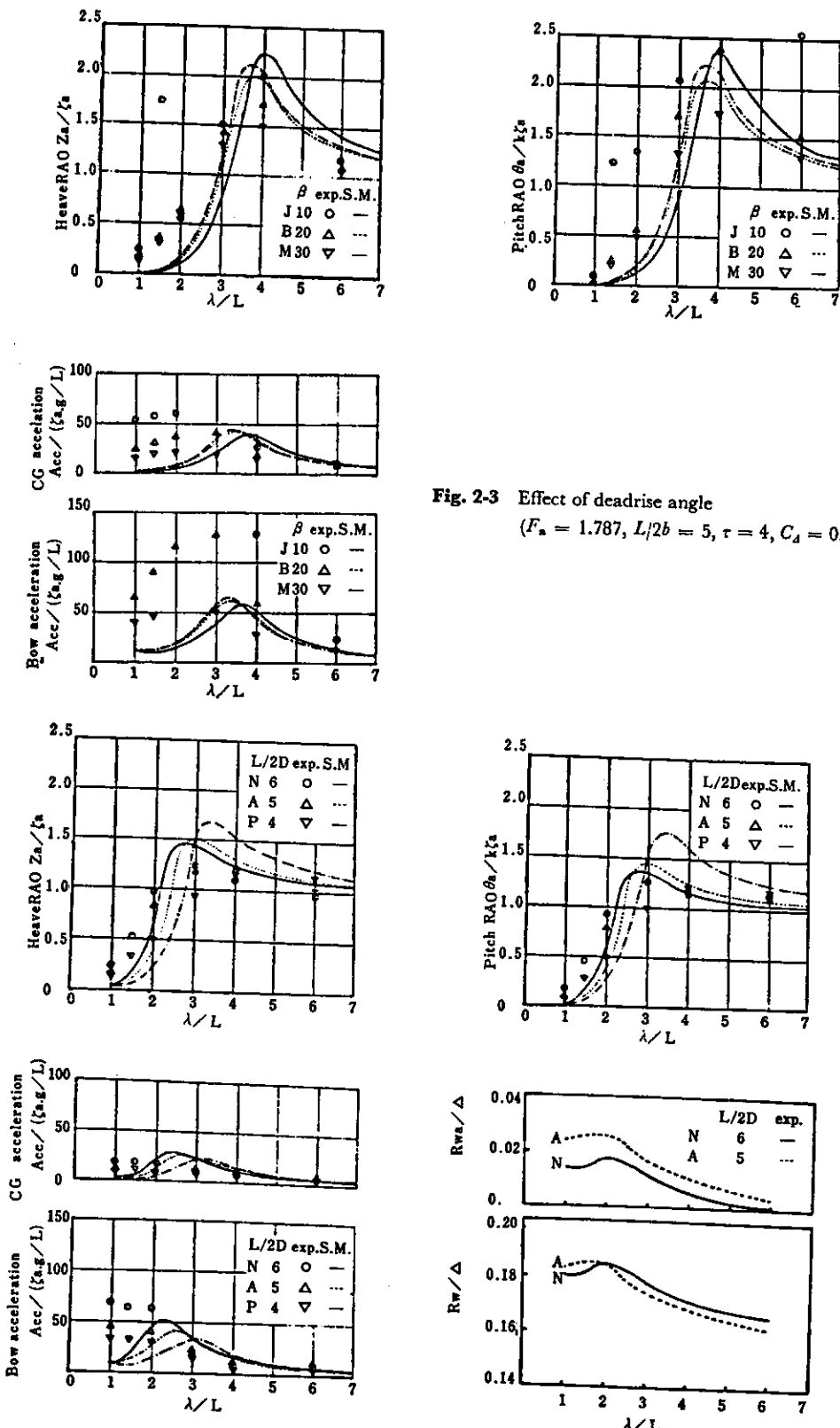


Fig. 3 Effect of $L/2b$ ratio
($F_s = 1.191$, $\beta = 20$, $\tau = 4$)

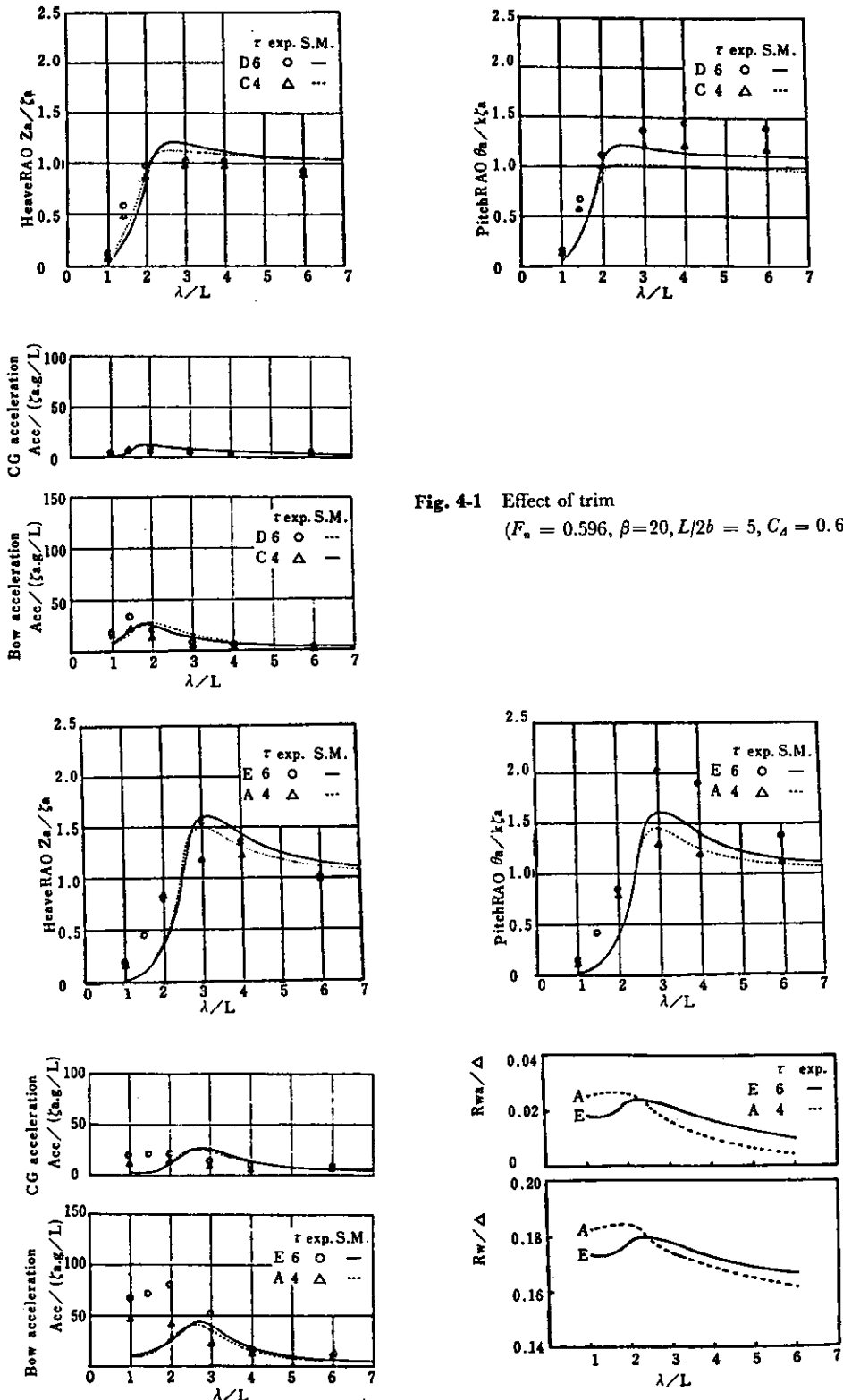


Fig. 4-1 Effect of trim
($F_n = 0.596$, $\beta = 20$, $L/2b = 5$, $C_d = 0.608$)

Fig. 4-2 Effect of trim
($F_n = 1.191$, $\beta = 20$, $L/2b = 5$, $L/26 = 5$, $C_d = 0.608$)

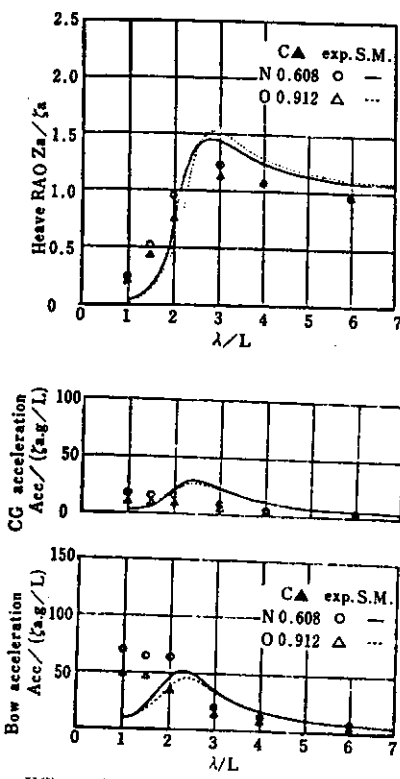


Fig. 5-1 Effect of load
($F_n = 1.191$, $\beta = 20$, $L/2b = 6$, $\tau = 4$)

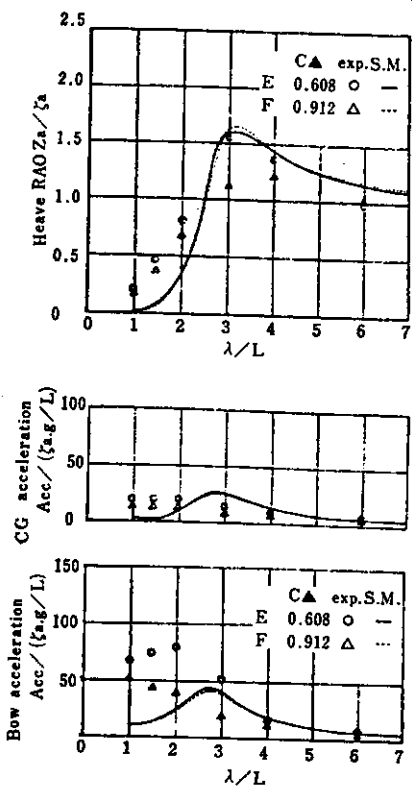
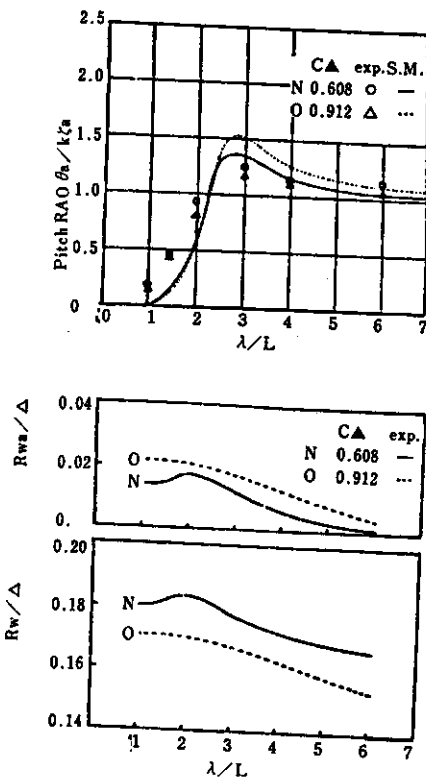


Fig. 5-2 Effect of load
($F_n = 1.191$, $\beta = 20$, $L/2b = 5$, $\tau = 6$)

あるため、一概に言うことはできないかも知れないが、 L/B の大きい模型は波長船長比が小さな範囲では縦揺れ、上下揺れ、加速度ともに L/B の小さな模型よりも大きくなっていて、前者の運動、加速度が後者のものより小さくなるかあるいは同程度になるのは長波長の領域に入つてからである。計算値は定性的にはこの傾向を説明しているようである。

トリムが変化した場合の影響については、フルード数が 0.596 および 1.191 の 2 状態を Fig. 4 に示した。図中のトリム τ は、初期トリムではなく平水中を波浪中と同一速度で航走したときのトリムを表わしているが、 τ が大きい場合、表に示すように初期トリムも大きくなっている。トリム角が大きい場合、波長船長比全体にわたつてトリム角の小さな場合よりも運動、加速度ともに大きくなっている。計算値は既に述べたように初期トリムの状態を動揺中心と仮定して行つてあるが、波長船長比の小さい部分を除いて実験値の傾向とよく一致している。またこれらることは強制動揺試験の結果が裏付けている。

Fig. 5 は L/B 、deadrise angle およびトリム角を一定とした場合、排水量の変化が運動に及ぼす影響を示している。実験値は排水量の大きくなるほど運動、加速度とともに小さくなっているが、計算値は必ずしもこの傾向に一致していない。

3. 結 論

V型柱状模型の規則波中試験結果およびストリップ法

による計算結果をまとめると次のようになる。

(1) ストリップ法による計算値はフルード数が 0.5 付近までは定量的にも実験値と良く一致している。フルード数が 1.2 程度までも定性的には船体運動を説明しているが、波長船長比の小さな範囲での加速度については実験値とかなりの隔たりがある。

(2) (1)の結果は船型の異なる第 1 報の結果と照らし合せて見ると、ストリップ法の高速艇船型への一般的な結論と言えそうである。

(3) 速度の船体運動に与える影響は大きい。また、フルード数が高い場合 deadrise angle の増加は加速度を軽減する方向にある。

(4) トリム角は小さい方が運動、加速度ともに小さくなる。

(5) 排水量は大きいほど運動、加速度とも小さくなる傾向がある。

(6) L/B については波長船長比が小さな範囲で、 L/B が大きい方が運動、加速度ともに大きくなる。

参考文献

- 1) 別所、小松：高速艇の波浪中運動性能の研究（第 1 報、船舶用軽金属委員会第 14 回報告書）
- 2) 別所、小松：“”（第 2 報、第 15 回 “”）
- 3) Gerard Frijdsma; A Systematic Study of the Rough-Water Performance of Planing Boats, Davidson Laboratory Report 1275, '69.